

ISSN 0033-8494

Том 60, Номер 4

Апрель 2015



# РАДИОТЕХНИКА И ЭЛЕКТРОНИКА

<http://www.naukaran.ru>  
<http://www.maik.ru>



“НАУКА”

# СОДЕРЖАНИЕ

---

---

Том 60, номер 4, 2015

---

---

## ЭЛЕКТРОДИНАМИКА И РАСПРОСТРАНЕНИЕ РАДИОВОЛН

Применение метода вспомогательных источников к тонким пластинам и незамкнутым поверхностям

*И. М. Петоев, В. А. Табатадзе, Д. Г. Какулия, Р. С. Заридзе*

333

Распространение волн вдоль размытой границы метаматериала

*А. Б. Маненков*

344

Численное электродинамическое исследование внутренней задачи для элемента Пойгенса – внутреннего куба Пойгенса

*А. С. Годин, А. Б. Цай, К. Н. Климов*

352

Структура поля и скорости поверхностных волн на плоских границах электропроводящих сред с высокой проводимостью, волна Ценнека

*В. В. Шевченко*

358

---

## АНТЕННО-ФИДЕРНЫЕ СИСТЕМЫ

Метод снижения уровня обратного излучения рупорного сверхвысокочастотного излучателя

*Я. И. Лепих, А. А. Карпенко*

364

---

## ТЕОРИЯ И МЕТОДЫ ОБРАБОТКИ СИГНАЛОВ

Новые методы расчета оконных функций Дольфа–Чебышева, Барсилона–Темеша и их модификаций

*В. П. Дворкович, А. В. Дворкович*

369

Автоматизированная интеллектуальная обработка сигналов в системах подповерхностной радиолокации

*Л. В. Лабунец*

386

Обнаружение радиосигнала с неизвестными моментами появления и исчезновения

*А. П. Трифонов, Ю. Э. Корчагин, О. В. Чернояров, Б. И. Шахтарин*

399

Инвариантные алгоритмы обнаружения сигналов в радиолокаторах с цифровым телевизионным подсветом

*В. А. Богданович, А. Г. Вострецов, Н. С. Стенюков*

411

---

## ДИНАМИЧЕСКИЙ ХАОС В РАДИОФИЗИКЕ И ЭЛЕКТРОНИКЕ

Мультимедийные сенсорные сети на основе сверхширокополосных хаотических радиоимпульсов

*А. С. Дмитриев, Е. В. Ефремова, М. Ю. Герасимов*

419

---

## ОБНАРУЖЕНИЕ РАДИОСИГНАЛА С НЕИЗВЕСТНЫМИ МОМЕНТАМИ ПОЯВЛЕНИЯ И ИСЧЕЗНОВЕНИЯ

© 2015 г. А. П. Трифонов<sup>1</sup>, Ю. Э. Корчагин<sup>1</sup>, О. В. Чернояров<sup>2</sup>, Б. И. Шахтарин<sup>3</sup>

<sup>1</sup>Воронежский государственный университет,  
Российская Федерация, 394007, Воронеж, Университетская пл., 1

<sup>2</sup>Национальный исследовательский университет “МЭИ”,  
Российская Федерация, 111250, Москва, ул. Красноказарменная, 14

<sup>3</sup>Московский государственный технический университет им. Н.Э. Баумана,  
Российская Федерация, 105005, Москва, ул. 2-я Бауманская, 5, стр. 1

E-mail: trifonov@phys.vsu.ru

Поступила в редакцию 08.10.2014 г.

Синтезирован максимально правдоподобный алгоритм обнаружения радиосигнала с неизвестными амплитудой, начальной фазой и моментами появления и исчезновения. Предложен двухканальный квазиоптимальный обнаружитель радиосигнала, имеющий более простую структуру, по сравнению с оптимальным. Найдены асимптотические значения характеристик квазиоптимального обнаружителя.

DOI: 10.7868/S0033849415040142

### ВВЕДЕНИЕ

Задача обнаружения сигнала с неизвестными моментами появления и исчезновения представляет значительный интерес для радио- и гидролокации, радиосвязи, сейсмологии, телеметрии и других областей науки и техники. В работах [1, 2] предложены алгоритмы обнаружения сигнала со случайными моментами появления и исчезновения при использовании дискретной выборки наблюдаемых данных. В работе [3] синтезирован ряд оптимальных алгоритмов обнаружения сигнала без высокочастотного заполнения и найдены их асимптотические характеристики, в [4] найдены точные характеристики максимально правдоподобного (МП) алгоритма обнаружения сигналов с неизвестными моментами появления и исчезновения и априори известной амплитудой. В работе [5] исследованы алгоритмы обнаружения сигнала с неизвестной амплитудой и моментами появления и исчезновения, которые целесообразно использовать для обнаружения сигналов с неизвестной мощностью.

Однако во многих практических приложениях используются сигналы с высокочастотным заполнением (радиосигналы), которые вследствие специфики распространения имеют неизвестную амплитуду и начальную фазу. В данной работе рассмотрены алгоритмы обнаружения радиосигнала с неизвестными моментами появления и исчезновения, амплитудой и начальной фазой.

Рассмотрим задачу обнаружения сигнала

$$s(t, a, \varphi, \theta_1, \theta_2) = \begin{cases} af(t) \cos(\omega t - \varphi), & \theta_1 \leq t \leq \theta_2, \\ 0, & t < \theta_1, t > \theta_2, \end{cases} \quad (1)$$

наблюдаемого на фоне аддитивного гауссовского белого шума  $n(t)$  с односторонней спектральной плотностью  $N_0$ . Здесь известная непрерывная функция  $f(t)$  описывает форму огибающей радиосигнала,  $a$  – величина, характеризующая его амплитуду,  $\varphi \in [0, 2\pi]$  – начальная фаза,  $\theta_1$  и  $\theta_2$  – моменты появления и исчезновения, соответственно, принимающие значения из априорных интервалов

$$\theta_1 \in [\theta_{1\min}, \theta_{1\max}], \quad \theta_2 \in [\theta_{2\min}, \theta_{2\max}], \quad (2)$$

причем момент появления сигнала предшествует моменту исчезновения так, что  $\theta_{1\max} \leq \theta_{2\min}$ . Функция  $f(t)$  при  $t \in [\theta_{1\min}, \theta_{2\max}]$  может обращаться в нуль лишь на интервалах нулевой меры. В моменты появления  $\theta_1$  и исчезновения  $\theta_2$  сигнала (1) функция  $f(t)$  не обращается в нуль,  $f(\theta_i) \neq 0$ ,  $i = 1, 2$ , т.е. сигнал (1) является разрывным [6, 7].

Реализацию наблюдаемых данных при этом запишем в виде

$$\xi(t) = \gamma_0 s(t, a_0, \varphi_0, \theta_{01}, \theta_{02}) + n(t), \quad (3)$$

где  $a_0, \varphi_0, \theta_{01}, \theta_{02}$  – истинные значения амплитуды, начальной фазы и моментов появления и исчезновения соответственно, а также введен дискретный

параметр  $\gamma_0$ . Он может принимать два значения: если в наблюдаемой реализации сигнал отсутствует, то  $\gamma_0 = 0$ , а если в наблюдаемой реализации сигнал присутствует, то  $\gamma_0 = 1$ . По наблюдаемой реализации  $\xi(t)$  необходимо решить, какое значение принимает параметр  $\gamma$ .

## 1. МАКСИМАЛЬНО ПРАВДОПОДОБНЫЙ АЛГОРИТМ ОБНАРУЖЕНИЯ

Для синтеза алгоритма обнаружения воспользуемся методом максимального правдоподобия [6, 8, 9], согласно которому необходимо формировать логарифм функционала отношения правдоподобия (ФОП) для принимаемой реализации  $\xi(t)$  (3) и сравнивать его максимальное значение с порогом. В случае превышения порога выносится решение о наличии полезного сигнала  $s(t, a_0, \phi_0, \theta_{01}, \theta_{02})$  в принимаемой реализации  $\xi(t)$  (3), в случае непревышения порога – решение об отсутствии сигнала.

В данной постановке задачи логарифм ФОП

$$L(\gamma, a, \phi, \theta_1, \theta_2) = \frac{2a\gamma}{N_0} \int_{\theta_1}^{\theta_2} f(t) \cos(\omega t - \phi) [\xi(t) - af(t) \cos(\omega t - \phi)/2] dt$$

зависит от пяти неизвестных параметров: амплитуды  $a$ , начальной фазы  $\phi$ , моментов появления и исчезновения  $\theta_1, \theta_2$  и дискретного параметра  $\gamma$ , характеризующего наличие или отсутствие сигнала в наблюдаемой реализации [6, 8, 9].

Задачу обнаружения можно интерпретировать как задачу оценки дискретного параметра  $\gamma$ . Для решения задачи обнаружения будем использовать обобщенный МП-алгоритм обнаружения [2, 8], основанный на сравнении абсолютного (наибольшего) максимума логарифма ФОП с некоторым порогом  $h$ . В соответствии с этим алгоритмом оценка  $\gamma_m$  параметра  $\gamma_0$  имеет вид

$$\gamma_m = \begin{cases} 1, & L > h, \\ 0, & L \leq h, \end{cases} \quad L = \sup_{a, \phi, \theta_1, \theta_2} L(a, \phi, \theta_1, \theta_2), \quad (4)$$

где

$$L(a, \phi, \theta_1, \theta_2) = L(\gamma = 1, a, \phi, \theta_1, \theta_2). \quad (5)$$

Максимизацию логарифма ФОП (5) по переменной  $\phi$  можно выполнить аналитически. Для этого подставим сигнал (1) в выражение (5) и представим логарифм ФОП в виде

$$L(a, \phi, \theta_1, \theta_2) = aX(\theta_1, \theta_2) \cos \phi + aY(\theta_1, \theta_2) \sin \phi - \frac{a^2}{2N_0} \int_{\theta_1}^{\theta_2} f^2(t) dt, \quad (6)$$

где введены обозначения

$$X(\theta_1, \theta_2) = \frac{2}{N_0} \int_{\theta_1}^{\theta_2} \xi(t) f(t) \cos(\omega t) dt,$$

$$Y(\theta_1, \theta_2) = \frac{2}{N_0} \int_{\theta_1}^{\theta_2} \xi(t) f(t) \sin(\omega t) dt$$

и отброшены интегралы от членов, осциллирующих с удвоенной частотой. Найдем производную функции (6) по  $\phi$ , приравняв ее к нулю:

$$\frac{dL(a, \phi, \theta_1, \theta_2)}{d\phi} = -aX(\theta_1, \theta_2) \sin \phi + aY(\theta_1, \theta_2) \cos \phi = 0$$

и решим полученное уравнение правдоподобия относительно  $\phi$ :

$$\phi = \arctg(Y(\theta_1, \theta_2)/X(\theta_1, \theta_2)).$$

Подставляя полученное решение в (6), получим

$$L(a, \theta_1, \theta_2) = \sup_{\phi} L(a, \phi, \theta_1, \theta_2) = a\sqrt{X^2(\theta_1, \theta_2) + Y^2(\theta_1, \theta_2)} - \frac{a^2}{2N_0} \int_{\theta_1}^{\theta_2} f^2(t) dt. \quad (7)$$

Выполним теперь максимизацию логарифма ФОП (7) по амплитуде. Производную функции (7) по переменной  $a$  приравняем к нулю:

$$\frac{dL(a, \theta_1, \theta_2)}{da} = \sqrt{X^2(\theta_1, \theta_2) + Y^2(\theta_1, \theta_2)} - \frac{a}{N_0} \int_{\theta_1}^{\theta_2} f^2(t) dt = 0$$

и решим полученное уравнение правдоподобия относительно  $a$ :

$$a = \frac{N_0 \sqrt{X^2(\theta_1, \theta_2) + Y^2(\theta_1, \theta_2)}}{\int_{\theta_1}^{\theta_2} f^2(t) dt}. \quad (8)$$

Подставляя решение (8) в выражение (7) вместо априори неизвестной амплитуды  $a$ , получим

$$L(\theta_1, \theta_2) = \sup_a L(a, \theta_1, \theta_2) = \frac{N_0 (X^2(\theta_1, \theta_2) + Y^2(\theta_1, \theta_2))}{2 \int_{\theta_1}^{\theta_2} f^2(t) dt}. \quad (9)$$

Решающую статистику  $L$  в выражении (4) перепишем в виде

$$L = \sup_{\theta_1, \theta_2} L(\theta_1, \theta_2).$$

На основе выражения (9) можно построить структуру приемного устройства. Получить функцию (9) как непрерывную функцию моментов появления  $\theta_1$  и исчезновения  $\theta_2$  не представляется возможным, поэтому приемник должен формировать отсчеты  $L_{mg} = L(\theta_{1m}, \theta_{2g}) = L(m\Delta\theta_1, g\Delta\theta_2)$  случайного поля (9) для каждого дискретного значения моментов появления  $m\Delta\theta_1$  и исчезновения  $g\Delta\theta_2$  и находить величину его абсолютного максимума. Здесь  $\Delta\theta_1, \Delta\theta_2$  – шаги квантования моментов появления и исчезновения,  $m = 1, 2, \dots, n_1$ ,  $g = 1, 2, \dots, n_2$ . Причем чем точнее необходимо воспроизвести (9), тем меньшие значения  $\Delta\theta_1, \Delta\theta_2$  необходимо брать и тем большее число каналов  $n_1$  и  $n_2$  требуется для построения приемника. Соответственно, чем большее число каналов используется, тем точнее многоканальный приемник реализует МП-алгоритм обнаружения. Необходимость формирования двумерного случайного поля вызывает трудности в технической реализации приемного устройства, поскольку приходится использовать многоканальную структуру, содержащую  $n_1 \times n_2$  каналов.

На рис. 1 представлена блок-схема одного канала МП-обнаружителя, который формирует логарифм ФОП (9) для фиксированных значений моментов появления  $m\Delta\theta_1$  и исчезновения  $g\Delta\theta_2$ , где И – интеграторы, работающие на интервале времени  $[m\Delta\theta_1, g\Delta\theta_2]$ . Из всех сформированных  $n_1 \times n_2$  каналами на рис. 1 значений  $L(m\Delta\theta_1, g\Delta\theta_2)$  выбирается наибольшее и сравнивается с порогом  $h$ . В случае превышения порога выносится решение о наличии полезного сигнала  $s(t, a_0, \phi_0, \theta_{01}, \theta_{02})$  в принимаемой реализации  $\xi(t)$  (3), в случае не-превышения порога выносится решение об отсутствии сигнала.

Нахождение характеристик МП-алгоритма обнаружения является весьма трудоемким, к тому же многоканальность приемного устройства приводит к сложности его реализации на практике, так как требуется использовать  $n_1 \times n_2$  каналов, подобно представленному рис. 1.

## 2. КВАЗИОПТИМАЛЬНЫЙ АЛГОРИТМ ОБНАРУЖЕНИЯ

Вследствие сложности анализа и реализации МП-алгоритма обнаружения воспользуемся квазиоптиимальным (КО) алгоритмом обнаружения. Запишем логарифм ФОП в виде

$$L(a, \phi, \theta_1, \theta_2) = L_1(a, \phi, \theta_1) + L_2(a, \phi, \theta_2),$$

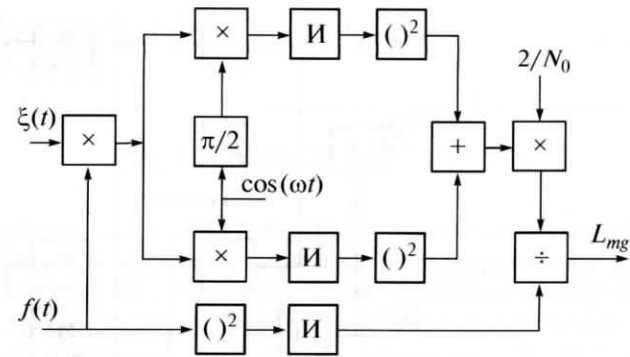


Рис. 1. Блок-схема одного канала МП-обнаружителя радиосигнала.

где

$$L_1(a, \phi, \theta_1) = \frac{2a}{N_0} \times \int_0^\theta f(t) \cos(\omega t - \phi) [\xi(t) - af(t) \cos(\omega t - \phi)/2] dt, \quad (10)$$

$$L_2(a, \phi, \theta_2) = \frac{2a}{N_0} \times \int_0^\theta f(t) \cos(\omega t - \phi) [\xi(t) - af(t) \cos(\omega t - \phi)/2] dt, \quad (11)$$

$\theta \in (\theta_{1\max}, \theta_{2\min})$ . Аналогично (9) выполним аналитически максимизацию (10) и (11) по начальной фазе и амплитуде, при этом получим

$$L_{1a\phi}(\theta_1) = \sup_{a, \phi} L_1(a, \phi, \theta_1) = \frac{N_0 (X_1^2(\theta_1) + Y_1^2(\theta_1))}{2 \int_0^\theta f^2(t) dt}, \quad (12)$$

$$L_{2a\phi}(\theta_2) = \sup_{a, \phi} L_2(a, \phi, \theta_2) = \frac{N_0 (X_2^2(\theta_2) + Y_2^2(\theta_2))}{2 \int_0^\theta f^2(t) dt}, \quad (13)$$

где

$$X_1(\theta_1) = \frac{2}{N_0} \int_{\theta_1}^\theta \xi(t) f(t) \cos(\omega t) dt, \quad (14)$$

$$Y_1(\theta_1) = \frac{2}{N_0} \int_{\theta_1}^\theta \xi(t) f(t) \sin(\omega t) dt, \quad (15)$$

$$X_2(\theta_2) = \frac{2}{N_0} \int_0^{\theta_2} \xi(t) f(t) \cos(\omega t) dt, \quad (16)$$

$$Y_2(\theta_2) = \frac{2}{N_0} \int_0^{\theta_2} \xi(t) f(t) \sin(\omega t) dt. \quad (17)$$

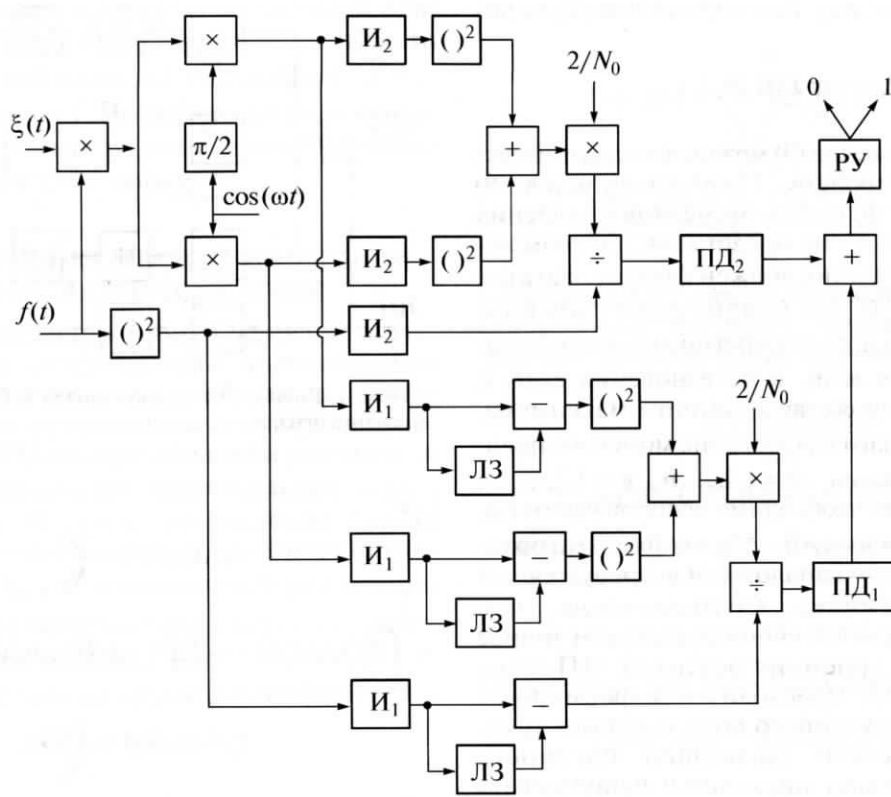


Рис. 2. Блок-схема КО-обнаружителя радиосигнала.

В случае КО-алгоритма обнаружения сигнала  $s(t, a_0, \phi_0, \theta_{01}, \theta_{02})$  будем сравнивать с порогом  $h$  не абсолютный максимум  $L$  (4) суммы процессов  $L_1(a, \phi, \theta_1)$  и  $L_2(a, \phi, \theta_2)$ , как в случае МП-алгоритма обнаружения, а сумму  $L_q$  абсолютных максимумов процессов  $L_{1\alpha\phi}(\theta_1)$  и  $L_{2\alpha\phi}(\theta_2)$ :

$$L_q = \sup L_{1\alpha\phi}(\theta_1) + \sup L_{2\alpha\phi}(\theta_2). \quad (16)$$

Тогда, обозначив  $\gamma_q$ , КО-оценку дискретного параметра  $\gamma$ , алгоритм обнаружения представим в виде

$$\gamma_q = \begin{cases} 1, & L_q > h, \\ 0, & L_q \leq h. \end{cases} \quad (17)$$

Согласно (16), (17) КО-алгоритм обнаружения может быть реализован в виде двухканального устройства.

На рис. 2 показана блок-схема устройства, реализующего КО-алгоритм обнаружения (17), построенная на основе выражений (12)–(16), где И1 и И2 – интеграторы, работающие на интервалах времени  $[\theta_{1\min}, \theta]$  и  $[\theta, \theta_{2\max}]$ , ЛЗ – линии задержки на время  $\theta - \theta_{1\min}$ , ПД1 и ПД2 – пиковые

детекторы, фиксирующие величины абсолютных максимумов сигналов на отрезках времени  $[\theta, 2\theta - \theta_{1\min}]$  и  $[\theta, \theta_{2\max}]$  соответственно, РУ – решающее устройство, сравнивающее входной сигнал с порогом  $h$  и выносящее решение о наличии полезного сигнала ( $\gamma_q = 1$ ) в принятой реализации в случае превышения порога и его отсутствии ( $\gamma_q = 0$ ) в противном случае. Таким образом, использование КО-алгоритма обнаружения (17) позволяет существенно упростить техническую реализацию обнаружителя. Действительно, для реализации предложенного алгоритма обнаружения достаточно двухканальной схемы, представленной на рис. 2, в отличие от МП-алгоритма обнаружения, где необходимо использовать  $n_1 \times n_2$  каналов, показанных на рис. 1.

### 3. СВОЙСТВА РЕШАЮЩЕЙ СТАТИСТИКИ

Исследуем случайные процессы (12), (13), формируемые КО-алгоритмом обнаружения. Подставляя наблюдаемую реализацию (3) в выражения (14), (15), а затем (14) и (15) – в (12) и (13) соответственно, получаем

$$L_{i\alpha\phi}(\theta_i) = \frac{[\gamma_0 G_i(\theta_{0i}, \theta_i) \cos \varphi_0 + N_{ic}(\theta_i)]^2 + [\gamma_0 G_i(\theta_{0i}, \theta_i) \sin \varphi_0 + N_{is}(\theta_i)]^2}{2(-1)^i q(\theta, \theta_i)}, \quad (18)$$

где

$$G_i(\theta_{0i}, \theta_i) = (-1)^i q(\theta, \min(\theta_{0i}, \theta_i)), \quad i = 1; 2.$$

Входящие в (18) шумовые составляющие  $N_{ic}(\theta_i)$ ,  $N_{is}(\theta_i)$  и отношение сигнал/шум (ОСШ) на выходе МП-приемника для сигнала с моментом появления  $x$  и моментом исчезновения  $y$  определяются следующим образом:

$$N_{ic}(\theta_i) = (-1)^i \frac{2a_0}{N_0} \int_0^{\theta_i} n(t) f(t) \cos(\omega t) dt, \quad (19)$$

$$N_{is}(\theta_i) = (-1)^i \frac{2a_0}{N_0} \int_0^{\theta_i} n(t) f(t) \sin(\omega t) dt, \quad (20)$$

$$q(x, y) = \frac{a_0^2}{N_0} \int_x^y f^2(t) dt. \quad (21)$$

Шумовые составляющие  $N_{ic}(\theta_i)$  и  $N_{is}(\theta_i)$  представляют собой линейные преобразования гауссовского случайного процесса и также являются гауссовскими. Они имеют нулевые математические ожидания и корреляционные функции

$$\begin{aligned} &\langle N_{ic}(\theta_{il}) N_{ic}(\theta_{i2}) \rangle = \\ &= \langle N_{is}(\theta_{il}) N_{is}(\theta_{i2}) \rangle = (-1)^i q(\theta, \min(\theta_{il}, \theta_{i2})), \end{aligned}$$

$$\langle N_{ic}(\theta_{il}) N_{is}(\theta_{i2}) \rangle = 0, \quad i = 1; 2.$$

Процессы  $N_{ic}(\theta_1)$  и  $N_{ic}(\theta_2)$  содержат согласно (19) интегралы от белого шума на неперекрывающихся интервалах, а следовательно, являются статистически независимыми. Аналогично статистически независимы случайные процессы  $N_{is}(\theta_1)$  и  $N_{is}(\theta_2)$  (20).

Поскольку функция  $f(t)$  может обращаться в нуль только на части интервала  $[\theta_{1\text{мин}}, \theta_{2\text{макс}}]$ , имеющей нулевую меру, то  $q(\theta_1, \theta)$  – монотонно убывающая функция аргумента  $\theta_1$ , а  $q(\theta, \theta_2)$  – монотонно возрастающая функция  $\theta_2$  и имеют место равенства  $q(x, \theta) = -q(\theta, x)$ ,

$$\begin{aligned} q[\max(x, y), \theta] &= \min[q(x, \theta), q(y, \theta)], \\ q[\theta, \min(x, y)] &= \min[q(\theta, x), q(\theta, y)]. \end{aligned}$$

Перейдем в выражении (18) к переменным  $\lambda_i = (-1)^i q(\theta, \theta_i)$ ,  $\lambda_i \in [\Lambda_{i\text{мин}}, \Lambda_{i\text{макс}}]$ ,  $\Lambda_{1\text{мин}} = q(\theta_{1\text{макс}}, \theta)$ ,  $\Lambda_{1\text{макс}} = q(\theta_{1\text{мин}}, \theta)$ ,  $\Lambda_{2\text{мин}} = q(\theta, \theta_{2\text{мин}})$ ,  $\Lambda_{2\text{макс}} = q(\theta, \theta_{2\text{макс}})$ ,  $i = 1; 2$ . Тогда для случайных процессов (18) как функций переменных  $\lambda_i$  можно записать следующее выражение:

$$L_{i\alpha\phi}(\lambda_i) = \frac{\gamma_0 G^2(\lambda_{0i}, \lambda_i) + 2\gamma_0 G(\lambda_{0i}, \lambda_i) N_{il}(\lambda_i) + N_{ic}^2(\lambda_i) + N_{is}^2(\lambda_i)}{2\lambda_i}, \quad (22)$$

где

$$G(\lambda_{0i}, \lambda_i) = \min(\lambda_{0i}, \lambda_i), \quad \lambda_{0i} = (-1)^i q(\theta, \theta_{0i}),$$

а функции  $N_{ic}(\lambda_i)$ ,  $N_{is}(\lambda_i)$

и

$$N_{il}(\lambda_i) = N_{ic}(\lambda_i) \cos \varphi_0 + N_{is}(\lambda_i) \sin \varphi_0, \quad i = 1; 2,$$

– гауссовские случайные процессы с нулевыми математическими ожиданиями и корреляционными функциями

$$\begin{aligned} \langle N_{ic}(\lambda_{il}) N_{ic}(\lambda_{i2}) \rangle &= \langle N_{is}(\lambda_{il}) N_{is}(\lambda_{i2}) \rangle = \\ &= \langle N_{il}(\lambda_{il}) N_{il}(\lambda_{i2}) \rangle = \min(\lambda_{il}, \lambda_{i2}). \end{aligned}$$

#### 4. ВЕРОЯТНОСТЬ ЛОЖНОЙ ТРЕВОГИ

Перейдем к определению характеристик КО-алгоритма обнаружения. Основными харак-

теристиками качества обнаружения являются вероятность ошибки 1-го рода (ложной тревоги) и 2-го рода (пропуска сигнала) [8]. Вероятность ложной тревоги согласно (17) равна

$$\begin{aligned} \alpha &= P[\gamma_q = 1 | \gamma_0 = 0] = \\ &= P[L_q > h | \gamma_0 = 0] = 1 - P_0(h), \end{aligned} \quad (23)$$

где  $P_0(h)$  – функция распределения величины  $L_q$  (16) суммы абсолютных максимумов процессов  $L_{1\alpha\phi}(\theta_1)$  (12) и  $L_{2\alpha\phi}(\theta_2)$  (13) в случае отсутствия сигнала в принимаемой реализации  $\xi(t)$  (3) ( $\gamma_0 = 0$ ). Таким образом, получим

$$\begin{aligned} P_0(h) &= P[L_q < h | \gamma_0 = 0] = \\ &= P[\sup L_{10}(\theta_1) + \sup L_{20}(\theta_2) < h], \end{aligned} \quad (24)$$

где  $L_{i0}(\theta_i) = L_{i\alpha\phi}(\theta_i | \gamma_0 = 0)$ ,  $i = 1; 2$ . Следовательно, для определения вероятности ложной тревоги

КО-обнаружителя необходимо найти функции распределения абсолютных максимумов

$$\begin{aligned} F_{i0}(u) &= P[\sup L_{i0}(\theta_i) < u, \theta_{i\min} \leq \theta_i \leq \theta_{i\max}] = \\ &= P[\sup L_{i0}(\lambda_i) < u, \Lambda_{i\min} \leq \lambda_i \leq \Lambda_{i\max}] \end{aligned}$$

случайных процессов

$$L_{i0}(\lambda_i) = \frac{N_{ic}^2(\lambda_i) + N_{is}^2(\lambda_i)}{2\lambda_i}, \quad i = 1, 2. \quad (25)$$

Рассмотрим вначале случайный процесс  $L_{20}(\lambda_2)$ . Введем обозначения

$$X_{2c}(\lambda_2) = \frac{N_{2c}(\lambda_2)}{\sqrt{\lambda_2}}, \quad X_{2s}(\lambda_2) = \frac{N_{2s}(\lambda_2)}{\sqrt{\lambda_2}} \quad (26)$$

и перепишем выражение (25) при  $i = 2$  как

$$L_{20}(\lambda_2) = [X_{2c}^2(\lambda_2) + X_{2s}^2(\lambda_2)]/2. \quad (27)$$

Независимые случайные процессы (26) являются гауссовскими с нулевыми математическими ожиданиями, единичными дисперсиями и коэффициентами корреляции

$$\begin{aligned} &\langle X_{2c}(\lambda_{21})X_{2c}(\lambda_{22}) \rangle = \\ &= \langle X_{2s}(\lambda_{21})X_{2s}(\lambda_{22}) \rangle = \frac{\min(\lambda_{21}, \lambda_{22})}{\sqrt{\lambda_{21}\lambda_{22}}}. \end{aligned}$$

Выполним в (26) и (27) замену переменных  $m_2 = \ln(\lambda_2/\Lambda_{2\min})$ ,  $m_2 \in [0, \tilde{m}_2]$ ,  $\tilde{m}_2 = \ln(\Lambda_{2\max}/\Lambda_{2\min})$ ,  $\lambda_2 = \Lambda_{2\min} \exp(m_2)$ . При такой замене случайные процессы  $X_{2c}(\lambda_2)$  и  $X_{2s}(\lambda_2)$  как функции переменной  $m_2$  имеют корреляционные функции

$$\begin{aligned} &\langle X_{2c}(m_{21})X_{2c}(m_{22}) \rangle = \langle X_{2s}(m_{21})X_{2s}(m_{22}) \rangle = \\ &= \frac{\min(\exp(m_{21}), \exp(m_{22}))}{\exp((m_{21} + m_{22})/2)} = \exp[-|m_{22} - m_{21}|/2]. \end{aligned}$$

Следовательно, случайные процессы  $X_{2c}(m_2)$  и  $X_{2s}(m_2)$  являются статистически независимыми стационарными гауссовскими и марковскими [10]. Тогда случайный процесс (27) как функция переменной  $m_2$  имеет математическое ожидание  $\langle L_{20}(m_2) \rangle = 1$ , корреляционную функцию  $K(m_{21}, m_{22}) = \exp(-|m_{22} - m_{21}|)$  и одномерную плотность вероятности  $W_2(x) = \exp(-x)$ . Согласно [8] процесс  $L_{20}(m_2)$  является марковским соответственно с коэффициентами сноса и диффузии:  $k_1 = 1 - L_{20}$ ,  $k_2 = 2L_{20}$ . Приближенное выражение для распределения величины абсолютного максимума случайного процесса  $L_{20}(m_2)$  найдено в [8, с. 85]:

$$P\{\sup L_{20}(m_2) < x\} \approx \exp[-\tilde{m}_2 x \exp(-x)] H(x-1),$$

где

$$H(x) = \begin{cases} 1, & x \geq 0, \\ 0, & x < 0 \end{cases}$$

— функция Хевисайда. Возвращаясь к переменной  $\lambda_2$ , для больших значений порога  $h$  и отношения  $\Lambda_{2\max}/\Lambda_{2\min}$  получаем

$$\begin{aligned} F_{20}(h) &= P\{\sup L_{20}(\lambda_2) < h\} \approx \\ &\approx \left( \frac{\Lambda_{2\max}}{\Lambda_{2\min}} \right)^{-h \exp(-h)} H(h-1). \end{aligned} \quad (28)$$

Выполняя аналогичные преобразования для случайного процесса  $L_{10}(\lambda_1)$ , находим приближенное выражение для функции распределения его абсолютного максимума, справедливое для больших значений порога  $h$  и отношения  $\Lambda_{1\max}/\Lambda_{1\min}$ :

$$\begin{aligned} F_{10}(h) &= P\{\sup L_{10}(\lambda_1) < h\} \approx \\ &\approx \left( \frac{\Lambda_{1\max}}{\Lambda_{1\min}} \right)^{-h \exp(-h)} H(h-1). \end{aligned} \quad (29)$$

Для функции распределения  $P_0(h)$  (24) суммы независимых случайных величин  $\sup L_{10}(\lambda_1)$  и  $\sup L_{20}(\lambda_2)$  с функциями распределения  $F_{10}(h)$  (29) и  $F_{20}(h)$  (28) имеем

$$\begin{aligned} P_0(h) &= \\ &= \int_{-\infty}^{\infty} F_{20}(h-x) dF_{10}(x) = \int_{-\infty}^{\infty} F_{10}(h-x) dF_{20}(x). \end{aligned} \quad (30)$$

Подставляя в (30) функции распределения (28) и (29), получаем вероятность недостижения порога суммой независимых случайных величин  $\sup L_{10}(\lambda_1)$  и  $\sup L_{20}(\lambda_2)$ :

$$\begin{aligned} P_0(h) &= H(h-2) \left[ \exp(-\tilde{m}_1 \exp(-1)) - \right. \\ &\quad \left. - \tilde{m}_2(h-1) \exp(h-1) \right] + \tilde{m}_1 \int_1^{h-1} (x-1) \times \\ &\quad \times \exp[-\tilde{m}_2(h-x) \exp(h-x) - \tilde{m}_1 x \exp(-x) - x] dx. \end{aligned}$$

Тогда вероятность ложной тревоги (23) принимает вид

$$\begin{aligned} a &= 1 - H(h-2) \left[ \exp(-\tilde{m}_1 \exp(-1)) - \right. \\ &\quad \left. - (\tilde{m}_2(h-1) \exp(h-1)) + \tilde{m}_1 \int_1^{h-1} (x-1) \times \right. \\ &\quad \times \exp[-\tilde{m}_2(h-x) \exp(h-x) - \tilde{m}_1 x \exp(-x) - x] dx \left. \right]. \end{aligned} \quad (31)$$

Полученная формула для вероятности ложной тревоги (31) является приближенной, однако ее точность увеличивается с ростом значений порога  $h$  и параметров  $\tilde{m}_1 = \ln(\Lambda_{\text{имакс}}/\Lambda_{\text{имин}})$ ,  $\tilde{m}_2 = \ln(\Lambda_{\text{2макс}}/\Lambda_{\text{2мин}})$ .

## 5. ВЕРОЯТНОСТЬ ПРОПУСКА СИГНАЛА

Согласно (17) вероятность пропуска сигнала равна

$$\begin{aligned}\beta(\theta_{01}, \theta_{02}) &= P[\gamma_q = 0 | \gamma_0 = 1] = \\ &= P[L_q < h | \gamma_0 = 1] = P_l(h),\end{aligned}\quad (32)$$

где  $P_l(h)$  – функция распределения величины  $L_q$  (16), суммы абсолютных максимумов процессов  $L_{1a\varphi}(\theta_1)$  (12) и  $L_{2a\varphi}(\theta_2)$  (13) при наличии сигнала в принимаемой реализации  $\xi(t)$  (3), т.е.  $\gamma_0 = 1$ :

$$\begin{aligned}P_l(h) &= P[L_q < h | \gamma_0 = 1] = \\ &= P[\sup L_{11}(\theta_1) + \sup L_{21}(\theta_2) < h].\end{aligned}\quad (33)$$

Здесь  $L_{il}(\theta_i) = L_{ia\varphi}(\theta_i | \gamma_0 = 1)$ ,  $i = 1; 2$ . При наличии сигнала в наблюдаемой реализации, когда  $\gamma_0 = 1$ , согласно (22) получим

$$\begin{aligned}L_{il}(\lambda_i) &= \frac{\min^2(\lambda_{0i}, \lambda_i)}{2\lambda_i} + \\ &+ \frac{\min(\lambda_{0i}, \lambda_i) N_{li}(\lambda_i)}{\lambda_i} + \frac{N_{ic}^2(\lambda_i) + N_{is}^2(\lambda_i)}{2\lambda_i}.\end{aligned}$$

Перейдем в последнем выражении к новым переменным  $I_i = \lambda_i/\lambda_{0i}$ ,  $I_i \in [\Lambda_{\text{имин}}/z_{0i}^2, \Lambda_{\text{имакс}}/z_{0i}^2]$ ,  $i = 1; 2$ :

$$\begin{aligned}L_{il}(I_i) &= z_{0i}^2 \frac{\min^2(1, I_i)}{2I_i} + \\ &+ z_{0i} \frac{\min(1, I_i) N_{li}(I_i)}{I_i} + \frac{N_{ic}^2(I_i) + N_{is}^2(I_i)}{2I_i}.\end{aligned}\quad (34)$$

Величина  $z_{01}^2 = \lambda_{01} = \frac{a_0^2}{N_0} \int_{0_{01}}^\theta f^2(t) dt$  представляет собой ОСШ для радиосигнала с амплитудой  $a_0$ , моментами появления  $\theta_{01}$  и исчезновения  $\theta$ . Величина  $z_{02}^2 = \lambda_{02} = \frac{a_0^2}{N_0} \int_0^{\theta_{02}} f^2(t) dt$  – ОСШ для радиосигнала с амплитудой  $a_0$ , моментами появления  $\theta$  и исчезновения  $\theta_{02}$ . Обозначим также ОСШ для принятого сигнала:

$$z_0^2 = z_{01}^2 + z_{02}^2 = \frac{a_0^2}{N_0} \int_{0_{01}}^{\theta_{02}} f^2(t) dt.\quad (35)$$

При достаточно больших ОСШ:  $z_{01}^2 \gg 1$  и  $z_{02}^2 \gg 1$  последним слагаемым в (34) можно пренебречь и, возвращаясь к переменным  $\lambda_i$ , записать приближенно выражение

$$L_{il}(\lambda_i) \approx \frac{\min^2(\lambda_{0i}, \lambda_i)}{2\lambda_i} + \frac{\min(\lambda_{0i}, \lambda_i)}{\lambda_i} N_{li}(\lambda_i), \quad i = 1; 2.\quad (36)$$

Эти функции представляют собой гауссовские случайные процессы с математическими ожиданиями

$$S_{il}(\lambda_i) = \frac{\min^2(\lambda_{0i}, \lambda_i)}{2\lambda_i} \quad (37)$$

и корреляционными функциями

$$K_{il}(\lambda_{il}, \lambda_{i2}) = \frac{\min(\lambda_{il}, \lambda_{0i}) \min(\lambda_{i2}, \lambda_{0i})}{\lambda_{il} \lambda_{i2}} \min(\lambda_{il}, \lambda_{i2}).$$

Коэффициенты корреляции случайных процессов  $L_{il}(\lambda_i)$  (36) имеют вид

$$R_{il}(\lambda_{il}, \lambda_{i2}) = \min(\lambda_{il}, \lambda_{i2}) / \sqrt{\lambda_{il} \lambda_{i2}}$$

и удовлетворяют условию [10, 11]

$$R_{il}(x, y) = R_{il}(x, t) R_{il}(t, y), \quad x > t > y.$$

Следовательно, случайные процессы  $L_{il}(\lambda_i)$  являются марковскими соответственно с коэффициентами сноса и диффузии [10]:

$$\begin{aligned}k_{1i}(\lambda_i) &= \begin{cases} 1, & \lambda_i < \lambda_{0i}, \\ -\lambda_{0i}^2/\lambda_i^2, & \lambda_i \geq \lambda_{0i}, \end{cases} \\ k_{2i}(\lambda_i) &= \begin{cases} 1, & \lambda_i < \lambda_{0i}, \\ \lambda_{0i}^2/\lambda_i^2, & \lambda_i \geq \lambda_{0i}. \end{cases}\end{aligned}$$

При больших ОСШ положения наибольших максимумов решающих статистик (36) располагаются в малых окрестностях положений максимумов их математических ожиданий [7]. Математические ожидания (37) достигают максимальных значений при  $\lambda_i = \lambda_{0i}$ . Введем величины  $\varepsilon_i = (\lambda_i - \lambda_{0i})/\lambda_{0i}$ , абсолютные значения которых уменьшаются с ростом ОСШ  $z_0^2$  (35), и перепишем коэффициенты сноса и диффузии в виде

$$\begin{aligned}k_{1i}(\lambda_i) &= \frac{1}{2} \begin{cases} 1, & \lambda_i < \lambda_{0i}, \\ -(1 + \varepsilon_i)^{-2}, & \lambda_i \geq \lambda_{0i}, \end{cases} \\ k_{2i}(\lambda_i) &= \begin{cases} 1, & \lambda_i < \lambda_{0i}, \\ (1 + \varepsilon_i)^{-2}, & \lambda_i \geq \lambda_{0i}. \end{cases}\end{aligned}$$

Поскольку  $\varepsilon_i \rightarrow 0$  в среднеквадратическом, когда  $z_0^2 \rightarrow \infty$ , то при больших ОСШ случайные процессы  $L_{il}(\lambda_i)$  (36) в окрестностях точек  $\lambda_i = \lambda_{0i}$  можно аппроксимировать гауссовскими марковскими

случайными процессами  $\mu_{il}(\lambda_i)$ ,  $i = 1; 2$ , с коэффициентами сноса и диффузии:

$$k_{1i}(\lambda_i) = \begin{cases} 1, & \lambda_i < \lambda_{0i}, \\ 2, & \lambda_i \geq \lambda_{0i}, \end{cases} \quad k_{2i}(\lambda_i) = 1. \quad (38)$$

Будем использовать эту аппроксимацию на всем интервале возможных значений параметра  $\lambda_i \in [\Lambda_{i\min}, \Lambda_{i\max}]$ . Тогда для вероятности пропуска (32) КО-алгоритма обнаружения (17) с учетом выражения (33) имеем

$$\beta(\lambda_{01}, \lambda_{02}) = P[\sup \mu_{11}(\lambda_1) + \sup \mu_{21}(\lambda_2) < h] = \int_{-\infty}^{\infty} F_{21}(h-x) dF_{11}(x), \quad (39)$$

$$F_{il}(u) = P[\sup \mu_{il}(\lambda_i) < u, \Lambda_{i\min} \leq \lambda_i \leq \Lambda_{i\max}] \quad (40)$$

— функции распределения величин абсолютных максимумов гауссовских марковских процессов  $\mu_{il}(\lambda_i)$  с коэффициентами сноса  $k_{1i}(\lambda_i)$  и диффузии  $k_{2i}(\lambda_i)$  (38).

Найдем сначала функцию распределения  $F_{21}(u)$ , которая по определению (40) равна вероятности недостижения порога  $u$  случайным процессом  $\mu_{21}(\lambda_2)$  при  $\lambda_2 \in [\Lambda_{2\min}, \Lambda_{2\max}]$ . Для нахождения функции  $F_{21}(u)$  воспользуемся методикой [7, 12, 13]. Введем вспомогательный случайный процесс  $y(\lambda_2) = u - \mu_{21}(\lambda_2)$ , который является гауссовским марковским процессом с коэффициентами сноса и диффузии:

$$k_{12}(\lambda_2) = \begin{cases} -1, & \lambda_2 < \lambda_{02}, \\ 2, & \lambda_2 \geq \lambda_{02}, \end{cases} \quad k_{22}(\lambda_2) = 1. \quad (41)$$

Тогда функция распределения (40) при  $i = 2$ :

$$F_{21}(u) = P\{y(\lambda_2) > 0, \lambda_2 \in [\Lambda_{2\min}, \Lambda_{2\max}]\}$$

представляет собой вероятность недостижения границ  $y = 0$  и  $y = +\infty$  марковским случайнм процессом  $y(\lambda_2)$  на отрезке  $\lambda_2 \in [\Lambda_{2\min}, \Lambda_{2\max}]$ . Согласно [10] для искомой вероятности можно записать

$$F_{21}(u) = \int_0^\infty W(y, \Lambda_{2\max}) dy. \quad (42)$$

Здесь  $W(y, \lambda_2)$  — решение уравнения Фоккера–Планка–Колмогорова [7, 10]

$$\frac{\partial W(y, \lambda_2)}{\partial \lambda_2} + \frac{\partial}{\partial y}[k_{12}W(y, \lambda_2)] - \frac{1}{2}\frac{\partial^2}{\partial y^2}[k_{22}W(y, \lambda_2)] = 0 \quad (43)$$

при граничных условиях  $W(y=0, \lambda_2) = W(y=\infty, \lambda_2) = 0$  и начальном условии

$$W(y, \lambda_2)|_{\lambda_2=\Lambda_{2\min}} = \frac{1}{\sqrt{2\pi\Lambda_{2\min}}} \exp\left[-\frac{(y-u+\Lambda_{2\min}/2)^2}{2\Lambda_{2\min}}\right].$$

Применяя метод отражения с переменой знака [10], находим аналогично [4] решение уравнения (43) с коэффициентами (41) при  $\lambda_2 \leq \lambda_{02}$ :

$$W(y, \lambda_2) = \frac{\exp[-y/2 - (\lambda_2 - \Lambda_{2\min})/8]}{2\pi\sqrt{\Lambda_{2\min}}(\lambda_2 - \Lambda_{2\min})} \times \int_0^\infty \exp\left[-\frac{(\xi-u+\Lambda_{2\min}/2)^2}{2\Lambda_{2\min}} + \frac{\xi}{2}\right] \times \left\{ \exp\left[-\frac{(y-\xi)^2}{2(\lambda_2 - \Lambda_{2\min})}\right] - \exp\left[-\frac{(y+\xi)^2}{2(\lambda_2 - \Lambda_{2\min})}\right] \right\} d\xi$$

и при  $\lambda_2 > \lambda_{02}$ :

$$W(y, \lambda_2) = \frac{\exp[y/2 - (\lambda_2 - \Lambda_{2\min})/8]}{2\pi\sqrt{(\lambda_2 - \lambda_{02})(\lambda_{02} - \Lambda_{2\min})}} \times \int_0^\infty \int_0^\infty \frac{\exp[-(\xi-u+\Lambda_{2\min}/2)^2/2\Lambda_{2\min} + \xi/2 - \xi_1]}{\sqrt{2\pi\Lambda_{2\min}}} \times \left\{ \exp\left[-\frac{(\xi_1 - \xi)^2}{2(\lambda_{02} - \Lambda_{2\min})}\right] - \exp\left[-\frac{(\xi_1 + \xi)^2}{2(\lambda_{02} - \Lambda_{2\min})}\right] \right\} \times \left\{ \exp\left[-\frac{(y - \xi_1)^2}{2(\lambda_2 - \lambda_{02})}\right] - \exp\left[-\frac{(y + \xi_1)^2}{2(\lambda_2 - \lambda_{02})}\right] \right\} d\xi d\xi_1. \quad (44)$$

Подставив решение (44) при  $\lambda_2 = \Lambda_{2\max}$  в формулу (42), запишем выражение для функции  $F_{21}(u)$  в виде

$$F_{21}(u) = \frac{\exp[-(\lambda_{02} - \Lambda_{2\min})/8]}{2\pi\sqrt{\Lambda_{2\min}}(\lambda_{02} - \Lambda_{2\min})} \times \int_0^\infty \int_0^\infty \exp\left[-\frac{(\xi-u+\Lambda_{2\min}/2)^2}{2\Lambda_{2\min}} + \frac{\xi - \xi_1}{2}\right] \times \left\{ \exp\left[-\frac{(\xi_1 - \xi)^2}{2(\lambda_{02} - \Lambda_{2\min})}\right] - \exp\left[-\frac{(\xi_1 + \xi)^2}{2(\lambda_{02} - \Lambda_{2\min})}\right] \right\} \times \varphi(1, \Lambda_{2\max} - \lambda_{02}, \xi_1) d\xi d\xi_1, \quad (45)$$

где

$$\varphi(y_1, y_2, y_3) = \Phi(y_1\sqrt{y_2}/2 + y_3/y_1\sqrt{y_2}) - \exp(-y_3)\Phi(y_1\sqrt{y_2}/2 - y_3/y_1\sqrt{y_2}),$$

$$\Phi(x) = \int_{-\infty}^x \exp(-t^2/2) dt / \sqrt{2\pi}$$

— интеграл вероятности.

Выполняя аналогичные преобразования для случайного процесса  $\mu_{11}(\lambda_1)$ , находим приближенное выражение для функции распределения его абсолютного максимума в виде

$$\begin{aligned} F_{11}(u) = & \frac{\exp[-(\lambda_{01} - \Lambda_{\text{мин}})/8]}{2\pi\sqrt{\Lambda_{\text{мин}}}(\lambda_{01} - \Lambda_{\text{мин}})} \times \\ & \times \int_0^\infty \int_0^\infty \exp \left[ -\frac{(\xi - u + \Lambda_{\text{мин}}/2)^2}{2\Lambda_{\text{мин}}} + \frac{\xi - \xi_1}{2} \right] \times \\ & \times \left\{ \exp \left[ -\frac{(\xi_1 - \xi)^2}{2(\lambda_{01} - \Lambda_{\text{мин}})} \right] - \right. \\ & \left. - \exp \left[ -\frac{(\xi_1 + \xi)^2}{2(\lambda_{01} - \Lambda_{\text{мин}})} \right] \right\} \times \\ & \times \varphi(1, \Lambda_{\text{макс}} - \lambda_{01}, \xi_1) d\xi d\xi_1. \end{aligned} \quad (46)$$

Подставляя далее функции (45) и (46) в формулу (39), получаем асимптотически точное выражение для вероятности пропуска сигнала:

$$\begin{aligned} \beta(\theta_{01}, \theta_{02}) = & \exp \left( -\frac{\mu_2 + \mu_1}{8} \right) \times \\ & \times \int_0^\infty \int_0^\infty \int_0^\infty \int_0^\infty \exp \left[ -\frac{(\xi_1 + \xi_3 - h + z_{\text{мин}}^2/2)^2}{2z_{\text{мин}}^2} + \right. \\ & + \left. \frac{\xi_1 - \xi_2 + \xi_3 - \xi_4}{2} \right] \chi(\xi_1, \xi_2, 0, \mu_1) \chi(\xi_3, \xi_4, 0, \mu_2) \times \\ & \times \varphi(1, v_1, \xi_2) \varphi(1, v_2, \xi_4) \times \\ & \times \frac{\xi_1 + \xi_3 - h + z_{\text{мин}}^2/2}{2\pi z_{\text{мин}}^3 \sqrt{2\mu_1 \mu_2}} d\xi_1 d\xi_2 d\xi_3 d\xi_4. \end{aligned} \quad (47)$$

Здесь

$$\begin{aligned} v_1 &= q(\theta_{\text{мин}}, \theta_{01}), \quad v_2 = q(\theta_{02}, \theta_{\text{макс}}), \\ \mu_1 &= q(\theta_{01}, \theta_{\text{макс}}), \quad \mu_2 = q(\theta_{\text{мин}}, \theta_{02}), \\ z_{\text{мин}}^2 &= q(\theta_{\text{макс}}, \theta_{\text{мин}}), \\ \chi(y_1, y_2, y_3, y_4) &= \\ &= \exp \left( -\frac{(y_1 - y_2 + y_3)^2}{2y_4} \right) - \exp \left( -\frac{(y_1 + y_2 + y_3)^2}{2y_4} \right). \end{aligned}$$

Найденное асимптотически точное (с ростом ОСШ) выражение (47) для вероятности пропуска радиосигнала с неизвестными моментами появления и исчезновения, амплитудой и фазой совпадает с точной формулой для вероятности пропуска квадетерминированного сигнала с неизвестными моментами появления и исчезновения с априори известной амплитудой [4], а также с асимптотическим выражением для вероятности пропуска ква-

зидетерминированного сигнала с неизвестной амплитудой [5].

В качестве примера рассмотрим обнаружение прямоугольного импульса со скошенной вершиной огибающей [14]. Выберем априорные области (2) возможных значений моментов появления и исчезновения так, чтобы величины  $\theta_{\text{мин}}$  и  $\theta_{\text{макс}}$  были фиксированными, а максимальная длительность сигнала  $T_{\text{макс}} = \theta_{\text{макс}} - \theta_{\text{мин}}$  оставалась неизменной. Будем считать, что точки  $\theta_{\text{макс}}$  и  $\theta_{\text{мин}}$  располагаются симметрично относительно середины  $\theta$  отрезка  $[\theta_{\text{мин}}, \theta_{\text{макс}}]$ :  $\theta = (\theta_{\text{мин}} + \theta_{\text{макс}})/2$ . Величины  $\theta_{\text{макс}}$  и  $\theta_{\text{мин}}$  могут изменяться одновременно с изменением  $k = T_{\text{макс}}/T_{\text{мин}}$ , где  $T_{\text{мин}} = \theta_{\text{мин}} - \theta_{\text{макс}}$  — минимальная длительность сигнала. Динамический диапазон изменения длительности сигнала  $k$  может принимать значения из интервала  $[1, \infty)$ . При  $k = 1$  априорные интервалы стягиваются в точку, что соответствует приему сигнала с известными моментами появления и исчезновения. Длительность такого сигнала равна  $T_{\text{макс}}$ . Нормированные длины априорных интервалов равны

$$\eta_i = \frac{\theta_{i\text{макс}} - \theta_{i\text{мин}}}{T_{\text{макс}}} = \frac{k-1}{2k}, \quad i = 1, 2.$$

Форму скошенной вершины импульса будем описывать функцией

$$f(t) = \left[ 1 + 2 \frac{1-d}{1+d} \frac{t-\theta}{T_{\text{макс}}} \right] \frac{1+d}{2} \sqrt{\frac{3}{d^2 + d + 1}}, \quad (48)$$

где параметр  $d = f(\theta_{\text{мин}})/f(\theta_{\text{макс}})$  характеризует наклон скошенной вершины. Множитель  $(1+d) \times \left[ 3/(d^2 + d + 1) \right]^{1/2}/2$  введен для того, чтобы энергия нормированного сигнала максимальной длительности

$$E = a_0^2 \int_{\theta_{\text{мин}}}^{\theta_{\text{макс}}} f^2(t) dt = a_0^2 T_{\text{макс}}$$

не зависела от наклона вершины импульса; это дает возможность сравнивать эффективность обнаружения сигналов с разным наклоном вершины, но с одинаковой энергией. Вычислим функцию (21) применительно к форме сигнала (48):

$$q(\theta_1, \theta_2) = z_r^2 \frac{\xi_1 + \xi_2 + b(\xi_2^2 - \xi_1^2) + b^2(\xi_2^3 + \xi_1^3)/3}{1 + b^2/12},$$

где  $b = 2(1-d)/(1+d)$ ,

$$z_r^2 = a_0^2 T_{\text{макс}}/N_0 \quad (49)$$

— ОСШ на выходе МП-приемника для прямоугольного радиоимпульса длительностью  $T_{\text{макс}}$ ,

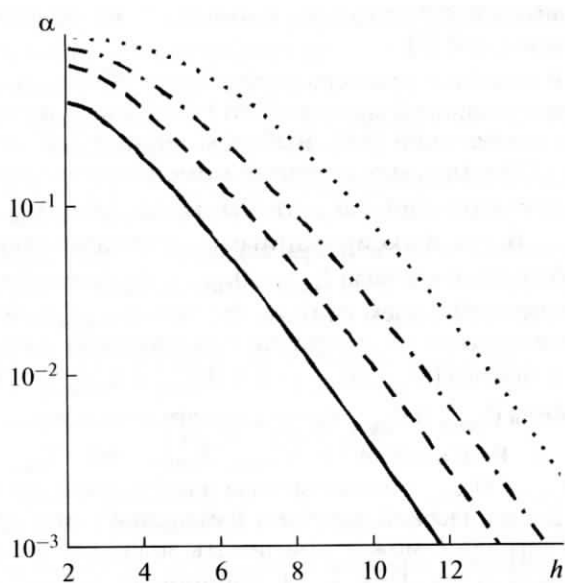


Рис. 3. Зависимость вероятности ложной тревоги КО-алгоритма обнаружения от порога при различной величине априорных интервалов моментов появления и исчезновения.

$\xi_1 = (\theta - \theta_1)/T_{\max}$ ,  $\xi_2 = (\theta_2 - \theta)/T_{\max}$  – нормированные моменты появления и исчезновения сигнала.

Полагаем, что истинные значения моментов появления  $\theta_{01}$  и исчезновения  $\theta_{02}$  расположены в серединах априорных интервалов, т.е.  $\theta_{0i} = (\theta_{i\max} + \theta_{i\min})/2$ ,  $i = 1; 2$ .

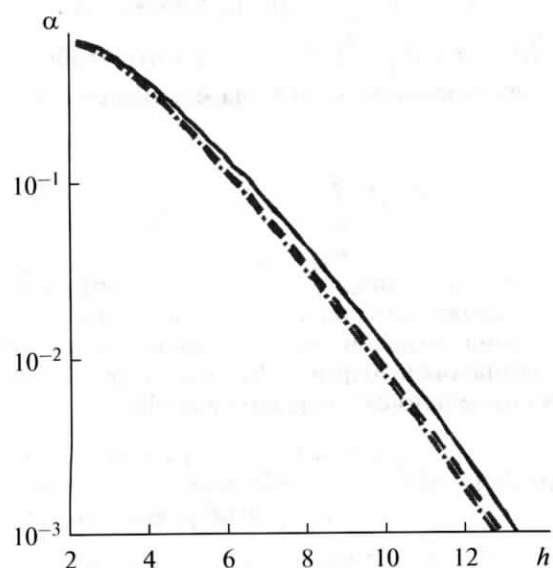


Рис. 4. Зависимость вероятности ложной тревоги КО-алгоритма обнаружения от порога при различном наклоне скошенной вершины огибающей.

На рис. 3 и 4 изображены зависимости вероятности ложной тревоги (31) от порога  $h$  для КО-алгоритма (17) обнаружения прямоугольного радиоимпульса со скошенной вершиной огибающей. Кривые на рис. 3 построены для радиоимпульса с прямоугольной огибающей ( $d = 1$ ) и различных значений динамического диапазона длительности сигнала  $k$ . Сплошная кривая соответствует  $k = 2$ , штриховая –  $k = 4$ , штрихпунктирная –  $k = 10$ , пунктирная –  $k = 100$ . Кривые на рис. 4 построены для  $k = 4$  и различных наклонов скошенной вершины огибающей радиоимпульса. Сплошная кривая соответствует  $d = 1$ , штриховая –  $d = 10^{\pm 1}$ , штрихпунктирная –  $d = 100^{\pm 1}$ . Из анализа рис. 3 и 4 следует, что с увеличением длины априорных интервалов возможных значений моментов появления и исчезновения вероятность ложной тревоги возрастает. Отклонение формы огибающей радиоимпульса от прямоугольной приводит к уменьшению вероятности ложной тревоги.

На рис. 5 и 6 показаны зависимости вероятности пропуска сигнала (47) от ОСШ  $z_r$  (49) для КО-алгоритма (17) обнаружения радиоимпульса со скошенной вершиной огибающей при значении вероятности ложной тревоги  $\alpha = 10^{-2}$ . Кривые на рис. 5 построены для радиоимпульса с прямоугольной огибающей ( $d = 1$ ) и различных значений динамического диапазона длительности сигнала  $k$ . Сплошная кривая соответствует  $k = 2$ , штриховая –  $k = 4$ , штрихпунктирная –  $k = 10$ . Кривые на рис. 6 построены для  $k = 4$  и различ-

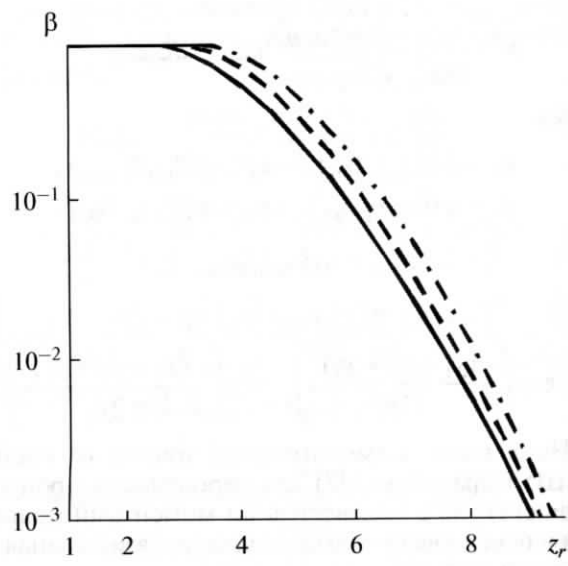


Рис. 5. Зависимость вероятности пропуска сигнала от ОСШ при фиксированной ложной тревоге, равной  $10^{-2}$ , и разном динамическом диапазоне длительности сигнала.

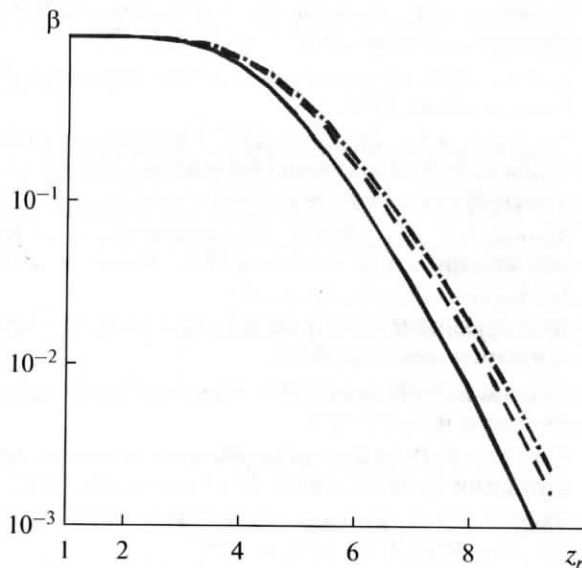


Рис. 6. Зависимость вероятности пропуска сигнала от ОСШ при фиксированной ложной тревоге, равной  $10^{-2}$ , и разных наклонах скошенной вершины огибающей.

ных наклонов скошенной вершины огибающей радиоимпульса. Сплошная кривая соответствует  $d = 1$ , штриховая —  $d = 10^{\pm 1}$ , штрихпунктирная —  $d = 100^{\pm 1}$ . Из анализа рис. 5 и 6 видим, что с ростом динамического диапазона изменения длительности сигнала  $k$ , а также по мере отклонения формы огибающей радиосигнала от прямоугольной эффективность обнаружения снижается.

Поскольку вероятность пропуска сигнала (47) инвариантна к отсутствию априорной информации об амплитуде и фазе сигнала, влияние априорного незнания начальной фазы радиосигнала на эффективность обнаружения можно количественно охарактеризовать величиной

$$\zeta = \alpha(h_a)/p, \quad (50)$$

где  $h_a$  — порог, найденный из решения уравнения  $\alpha_a(h_a) = p$ ,

$$\begin{aligned} \alpha_a(h) &= 1 - H(h-1) \times \\ &\times \left[ \exp\left(-\tilde{m}_1 \sqrt{\frac{1}{2\pi}} \exp\left(-\frac{1}{2}\right) - \tilde{m}_2 \sqrt{\frac{h-1/2}{\pi}} \exp\left(\frac{1}{2}-h\right)\right) + \right. \\ &+ \tilde{m}_1 \sqrt{\frac{h-1/2}{\pi}} \int_{1/2}^{h-1/2} \frac{2y-1}{2\sqrt{y}} \exp\left[-\tilde{m}_2 \sqrt{\frac{h-x}{\pi}} \exp(y-h)\right] - \\ &\left. - \tilde{m}_1 \sqrt{\frac{y}{\pi}} \exp(-y) - y \right] dy \end{aligned}$$

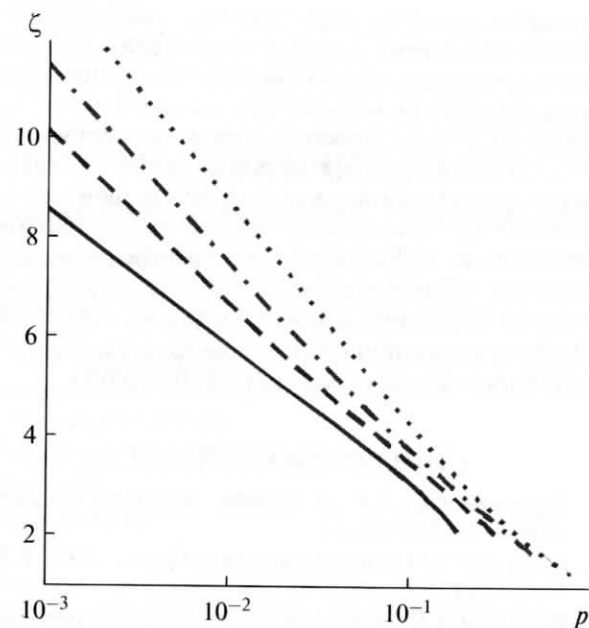


Рис. 7. Зависимость проигрыша в вероятности ложной тревоги КО-алгоритма обнаружения вследствие незнания начальной фазы сигнала.

— заимствованная из [5] формула для вероятности ложной тревоги КО-алгоритма обнаружения сигнала с неизвестными амплитудой и моментами появления и исчезновения при априори известной начальной фазе. Величина  $\zeta$  (50) показывает, во сколько раз увеличивается вероятность ложной тревоги КО-алгоритма обнаружения вследствие априорного незнания начальной фазы сигнала при неизменной вероятности пропуска. На рис. 7 показана зависимость проигрыша (50) от величины  $p$  для радиоимпульса с прямоугольной формой огибающей ( $d = 1$ ) и различных динамических диапазонов длительности сигнала:  $k = 2$  (сплошная кривая),  $k = 4$  (штриховая кривая),  $k = 10$  (штрихпунктирная кривая),  $k = 100$  (пунктирная кривая). Как следует из рис. 7, относительное увеличение вероятности ложной тревоги вследствие априорного незнания начальной фазы радиосигнала возрастает с уменьшением требуемого уровня ложной тревоги и с увеличением размеров априорных интервалов моментов появления и исчезновения.

## ЗАКЛЮЧЕНИЕ

Использование квазиоптимального алгоритма обнаружения, согласно которому решающая статистика записывается в виде суммы двух независимых слагаемых с последующей максимизацией каждого слагаемого по амплитуде и фазе, позволяет предложить двухканальную блок-схему обнаружителя, а также выполнить анализ алгоритма обнаружения. В

результате анализа характеристик предлагаемого квазиоптимального алгоритма обнаружения установлено, что увеличение относительных длин априорных интервалов возможных значений моментов появления и исчезновения вносит существенный вклад в ухудшение эффективности квазиоптимального алгоритма обнаружения. С уменьшением допустимого уровня ложной тревоги относительный проигрыш в эффективности квазиоптимального алгоритма обнаружения вследствие априорного незнания начальной фазы сигнала увеличивается.

Работа выполнена при поддержке Российского научного фонда (проект №14-49-00079).

#### СПИСОК ЛИТЕРАТУРЫ

1. Тартаковский А.Г. // Пробл. передачи информ. 1988. Т. 24. № 2. С. 39.
2. Репин В.Г. // Пробл. передачи информ. 1991. Т. 27. № 1. С. 61.
3. Трифонов А.П., Корчагин Ю.Э. // Пробл. передачи информ. 2001. Т. 37. № 1. С. 52.
4. Трифонов А.П., Корчагин Ю.Э. // Пробл. передачи информ. 2009. Т. 45. № 2. С. 91.
5. Трифонов А.П., Корчагин Ю.Э., Кондратович П.А. // Нелинейный мир. 2012. Т. 10. № 5. С. 287.
6. Тихонов В.И. Оптимальный прием сигналов. М.: Радио и связь, 1983.
7. Трифонов А.П., Шинаков Ю.С. Совместное различие сигналов и оценка их параметров на фоне помех. М.: Радио и связь, 1986.
8. Акимов П.С., Бакут П.А., Богданович В.А. и др. Теория обнаружения сигналов. М.: Радио и связь, 1984.
9. Шахтарин Б.И. Обнаружение сигналов. М.: Горячая линия-Телеком, 2014.
10. Тихонов В.И., Миронов М.А. Марковские процессы. М.: Радио и связь, 1977.
11. Сосулин Ю.Г. Теория обнаружения и оценивания стохастических сигналов. М.: Сов. радио, 1978.
12. Трифонов А.П., Корчагин Ю.Э. // Изв. вузов. Радиофизика. 2002. Т. 45. № 7. С. 625.
13. Трифонов А.П., Корчагин Ю.Э. // РЭ. 2005. Т. 50. № 4. С. 439.
14. Грязнов М.И., Гуревич М.Л., Рябинин Ю.А. Измерение параметров импульсов. М.: Радио и связь, 1991.